

# Sistema de monitoreo y gestión remota del clima en invernaderos

Martín Anibal Lacheski

**Carrera de Especialización en Internet de las Cosas**

**Director:** Leopoldo Alfredo Zimperz (FIUBA)

**Jurados:**

Jurado 1 (pertenencia)

Jurado 2 (pertenencia)

Jurado 3 (pertenencia)

*Ciudad de Montecarlo, Misiones, Junio de 2025*



## *Resumen*

La presente memoria describe el desarrollo de un prototipo para monitorear y controlar de manera remota las condiciones climáticas en los invernaderos de la Facultad de Ciencias Forestales de la Universidad Nacional de Misiones. La solución propuesta integra sensores y actuadores basados en el microcontrolador ESP32, conectados a un servidor IoT en la nube mediante Wi-Fi y el protocolo MQTT.

Este sistema permite la gestión y el monitoreo remoto a través de una aplicación web, optimizar el uso de recursos, mejorar la productividad y reducir costos operativos. Su implementación requirió conocimientos en sistemas embebidos, sensores, protocolos de comunicación, desarrollo de software, técnicas de seguridad y la implementación de soluciones cloud.



## *Agradecimientos*

Esta sección es para agradecimientos personales y es totalmente **OPCIONAL**.



# Índice general

<b>Resumen</b>	<b>I</b>
<b>1. Introducción general</b>	<b>1</b>
1.1. Problemática actual	1
1.2. Motivación	2
1.3. Estado del arte	2
1.4. Objetivos y alcance	3
1.4.1. Objetivo principal	3
1.4.2. Objetivos específicos	3
1.4.3. Alcance del trabajo	3
1.5. Requerimientos	4
<b>2. Introducción específica</b>	<b>7</b>
2.1. Protocolos de comunicación	7
2.1.1. Wi-Fi	7
2.1.2. MQTT	7
2.1.3. TLS	8
2.1.4. HTTP	8
2.1.5. WebSocket	8
2.2. Componentes de hardware	8
2.2.1. Microcontrolador	9
2.2.2. Sensor de temperatura ambiente, humedad relativa y presión atmosférica	9
2.2.3. Sensor de luz digital	9
2.2.4. Sensor infrarrojo de $CO_2$	10
2.2.5. Sensor de detección de pH	10
2.2.6. Sensor de conductividad eléctrica	10
2.2.7. Sensor de sólidos disueltos totales	10
2.2.8. Sensor de temperatura digital sumergible	11
2.2.9. Sensor ultrasónico	11
2.2.10. Sensor de medición de consumo eléctrico	11
2.2.11. Módulo Relay	11
2.3. Desarrollo de firmware	12
2.3.1. MicroPython	12
2.4. Desarrollo Backend y API	12
2.4.1. FastAPI	12
2.4.2. MongoDB	12
2.5. Desarrollo Frontend	13
2.5.1. React	13
2.6. Infraestructura y despliegue	13
2.6.1. Docker	13
2.6.2. AWS IoT Core	13

2.6.3.	AWS EC2	13
2.7.	Herramientas de desarrollo	13
2.7.1.	Visual Studio Code	13
2.7.2.	Postman	14
2.7.3.	Git	14
2.7.4.	Github	14
<b>Bibliografía</b>		<b>15</b>



# Índice de figuras

1.1. Diagrama en bloques del sistema. . . . .	4
2.1. Arquitectura del protocolo MQTT. . . . .	8
2.2. Microcontrolador ESP-WROOM-32. . . . .	9
2.3. Sensor BME280. . . . .	9
2.4. Sensor BH1750. . . . .	9
2.5. Sensor MHZ19C. . . . .	10
2.6. Sensor PH-4502C. . . . .	10
2.7. Sensor CE. . . . .	10
2.8. Sensor TDS. . . . .	11
2.9. Sensor de temperatura DS18B20. . . . .	11
2.10. Sensor HC-SR04. . . . .	11
2.11. Sensor de medición de consumo eléctrico. . . . .	11
2.12. Relay de 2 Canales 5v 10a . . . . .	12



# Índice de tablas

1.1. Características de la competencia. . . . .	2
---	---



*Dedicado a... [OPCIONAL]*



# Capítulo 1

## Introducción general

Este capítulo presenta una visión general de los sistemas de gestión y monitoreo en invernaderos, se abordan los desafíos actuales y las oportunidades de mejora en el ámbito de la agricultura. Se describe la problemática relacionada con la falta de optimización en los sistemas de cultivo tradicionales. Además, se describen la motivación, los objetivos, el alcance y los requerimientos asociados a los diferentes componentes del sistema.

### 1.1. Problemática actual

La agricultura enfrenta desafíos crecientes en la optimización de la productividad y la eficiencia, especialmente en regiones con condiciones climáticas adversas y variables. Según la FAO (*Food and Agriculture Organization of the United Nations*) [1], para el año 2050, se estima que la población superará los 9 mil millones de personas, lo que demandará un aumento del 60 % en la producción de alimentos. Para abordar este desafío, es fundamental optimizar el uso del agua, mejorar la productividad agrícola y fomentar prácticas que contribuyan a la sostenibilidad ambiental.

Ante estos retos, los cultivos hidropónicos han surgido como una solución prometedora debido a su capacidad para utilizar los recursos de manera más eficiente. Entre sus principales ventajas se destacan la reducción en el consumo de agua [2], la posibilidad de cultivar durante todo el año en entornos controlados y un aumento significativo en la productividad, gracias a la mayor velocidad de crecimiento y rendimiento de los cultivos.

En la provincia de Misiones, la producción hidropónica ha experimentado un crecimiento notable en los últimos años [3], [4]. No obstante, persisten desafíos en la gestión eficiente de los recursos esenciales. Actualmente, la mayoría de los productores emplean sistemas de control basados en temporizadores programables, los cuales no consideran las variaciones ambientales. Esto implica la necesidad de intervenciones manuales frecuentes y mediciones directas, limitando la eficiencia del proceso.

La ausencia de un monitoreo en tiempo real impacta negativamente en la calidad y el rendimiento de los cultivos, aumentando los costos operativos y afectando la sostenibilidad ambiental debido a la implementación de prácticas poco optimizadas.

## 1.2. Motivación

La motivación de este trabajo radica en el desarrollo e implementación de un sistema basado en IoT (*Internet of Things*) y de bajo costo, que permite monitorear en tiempo real y controlar de manera remota los invernaderos de la Facultad de Ciencias Forestales (FCF) de la Universidad Nacional de Misiones (UNaM).

Este sistema posibilita el registro continuo de diversas variables de interés, como temperatura ambiente, humedad relativa, dióxido de carbono ( $CO_2$ ), niveles de nutrientes, y consumo de agua y energía, entre otros. Los datos generados están disponibles para docentes, estudiantes e investigadores, para su uso en la realización de tesis, investigaciones y trabajos académicos.

Así, el proyecto no solo tiene un impacto directo en la producción, sino también en la formación académica y el avance científico. Proporciona una plataforma de datos para el análisis y el desarrollo de nuevas soluciones tecnológicas, alineadas con las demandas actuales de sostenibilidad ambiental y seguridad alimentaria [5].

## 1.3. Estado del arte

En el mercado actual, existen diversas empresas que ofrecen soluciones comerciales para optimizar la gestión de invernaderos. Estas herramientas permiten el control automatizado de variables clave como temperatura, humedad, ventilación y circulación de nutrientes o riego. La tabla 1.1 presenta una comparación de algunas de las soluciones disponibles y sus características más relevantes.

TABLA 1.1. Características de la competencia.

Empresa	Características
Hidroponía FIL [6]	Ofrece servicios en comodato de sensores y actuadores para monitorear y controlar en tiempo real variables críticas como temperatura ambiente, humedad relativa, conductividad eléctrica, pH, riego e iluminación.
Hidrosense [7]	Ofrece productos para automatizar la inyección de nutrientes en el sistema de riego a través del control del nivel de la conductividad eléctrica, la temperatura y el nivel de pH. Ofrece una plataforma para la visualización del estado, reportes y el envío de alertas.
iPONIA [8]	Ofrece productos y una plataforma para monitorear y controlar el invernadero hidropónico. Integra sensores para medir el nivel de pH, conductividad eléctrica, temperatura de la solución, temperatura ambiente y humedad relativa del aire. También ofrece dosificadores para inyectar los fertilizantes a la solución nutritiva.
Growcast [9]	Ofrece productos y una plataforma para controlar cultivos a través de sensores y actuadores que procesan y reportan datos en tiempo real. Integra sensores para medir temperatura ambiente, humedad relativa y $CO_2$ . Realiza el control del riego, la iluminación y la ventilación.



## 1.4. Objetivos y alcance

### 1.4.1. Objetivo principal

Diseñar y desarrollar un prototipo de sistema para el monitoreo y control remoto de las condiciones climáticas en invernaderos, mediante sensores y actuadores conectados a través de Wi-Fi, un servidor IoT en la nube y una aplicación web, con el fin de optimizar el uso de los recursos, reducir costos operativos y mejorar la sostenibilidad ambiental, además de servir como plataforma de datos para la investigación académica y científica.

### 1.4.2. Objetivos específicos

- Implementar una arquitectura IoT basada en Wi-Fi para monitorear sensores y actuadores en tiempo real.
- Desarrollar un servidor IoT en la nube para la recolección, almacenamiento y procesamiento de los datos obtenidos.
- Diseñar una aplicación web que permita la visualización en tiempo real y el control remoto de las condiciones del invernadero.
- Facilitar el acceso a los datos generados para su uso en investigaciones académicas, trabajos finales y estudios específicos.

### 1.4.3. Alcance del trabajo

El alcance del trabajo incluyó las siguientes tareas:

- Diseño e implementación de nodos IoT.
  - Selección de sensores, actuadores y microcontroladores.
  - Configuración de conexión Wi-Fi en nodos sensores y actuadores.
  - Desarrollo de firmware para la adquisición de datos de los sensores y el control de los actuadores.
- Comunicación y Protocolos.
  - Configuración de un servidor IoT para gestión de mensajes entre nodos y aplicaciones.
  - Transmisión de datos al servidor IoT mediante MQTT (*Message Queue Telemetry Transport*).
  - Cifrado de comunicaciones mediante TLS (*Transport Layer Security*).
- Desarrollo de Software.
  - Diseño e implementación de una base de datos para almacenar los datos recolectados por los sensores y permitir su consulta y análisis.
  - Diseño y desarrollo de una API (*Application Programming Interface*) REST (*Representational State Transfer*) que permita la comunicación con el sistema utilizando HTTP (*Hypertext Transfer Protocol*), MQTT y WebSockets.

- Desarrollo de una aplicación Web responsiva para la visualización de datos en tiempo real y el control remoto de actuadores.
- Entregables.
  - Código fuente completo del sistema (sensores, actuadores, servidor IoT, API y aplicación web).
  - Guías de instalación, configuración y operación.

El trabajo no incluyó:

- Armado de PCB.
- Desarrollo de una aplicación móvil compatible con iOS y Android.

La figura 1.1 muestra el diagrama en bloques del sistema, que evidencia la integración de hardware, software y servicios en la nube.

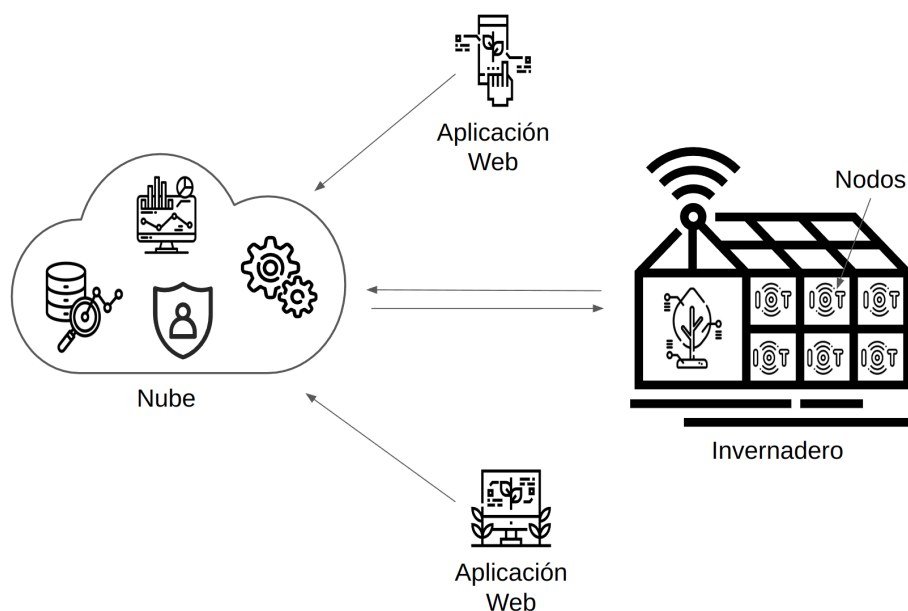


FIGURA 1.1. Diagrama en bloques del sistema.

## 1.5. Requerimientos

A continuación se detallan los requerimientos técnicos asociados a los diferentes componentes del sistema.

### 1. Requerimientos de los nodos:

- a) Utilizar microcontroladores basados en ESP32.
- b) Implementar certificados TLS para seguridad en las comunicaciones.
- c) Permitir conexión Wi-Fi.
- d) Identificador único por nodo dentro del sistema.
- e) Configuración remota del intervalo de envío de datos.

- f) Los nodos sensores deben transmitir al servidor IoT:
  - 1) Nodos ambientales: temperatura, humedad relativa, presión atmosférica, nivel de luminosidad y nivel de  $CO_2$ .
  - 2) Nodos de solución nutritiva: valores de pH (potencial de Hidrógeno), conductividad eléctrica (CE), TDS (*Total Dissolved Solids*), nivel y temperatura de la solución.
  - 3) Nodos de consumos: agua, nutrientes y energía eléctrica.
- g) Los nodos actuadores deben transmitir al servidor IoT:
  - 1) Configuración remota de parámetros por canal.
  - 2) Reporte del estado de cada canal al servidor IoT.
  - 3) Activación remota de canales.
- 2. Broker MQTT:
  - a) Soportar conexiones cifradas mediante TLS.
  - b) Poseer comunicación bidireccional (publicación/suscripción).
  - c) Implementar QoS (*Quality of Service*) para garantizar entrega de mensajes.
- 3. Frontend (aplicación web)
  - a) Interfaz intuitiva y responsiva (accesible desde móviles y escritorio).
  - b) Autenticación de usuarios mediante credenciales.
  - c) Realización de las operaciones CRUD (Crear, Leer, Actualizar, Eliminar).
  - d) Visualización en tiempo real de datos de sensores y actuadores.
  - e) Envío remoto de comandos y configuraciones.
  - f) Acceso a datos históricos mediante gráficos y tablas.
  - g) Tablero interactivo para monitoreo y control centralizado.
- 4. Backend:
  - a) Soportar conexiones seguras mediante TLS.
  - b) Implementar JWT (*JSON Web Token*).
  - c) Persistencia de los datos.
  - d) Soporte para métodos HTTP (CRUD y reportes), WebSockets (datos en tiempo real) y MQTT (interacción con dispositivos).
- 5. Requerimientos de documentación:
  - a) Se entregará el código del sistema, que incluye todos los componentes desarrollados (sensores, actuadores, broker MQTT, frontend, backend y API).
  - b) Se entregarán las guías y diagramas de instalación, configuración y operación.



## Capítulo 2

# Introducción específica

En este capítulo se presentan los protocolos de comunicación, componentes de hardware y herramientas de software utilizados en el desarrollo del trabajo. Se detallan las características y sus especificaciones técnicas.

### 2.1. Protocolos de comunicación

En esta sección se describen los diferentes protocolos de comunicación utilizados en el desarrollo del trabajo.

#### 2.1.1. Wi-Fi

Wi-Fi es el nombre comercial propiedad de la Wi-Fi Alliance para designar su familia de protocolos de comunicación inalámbrica basados en el estándar IEEE 802.11 para redes de área local sin cables [10].

El estandar identifica dos modos principales de topología de red: infraestructura y ad-hoc.

- Modo infraestructura: los dispositivos se conectan a una red inalámbrica a través de un router o AP (*Access Point*) inalámbrico, como en las WLAN. Los AP se conectan a la infraestructura de la red mediante el sistema de distribución conectado por cable o de manera inalámbrica.
- Modo ad-hoc: los dispositivos se conectan directamente entre sí sin necesidad de un punto de acceso.

#### 2.1.2. MQTT

MQTT es un protocolo de mensajería estándar internacional OASIS [11] para el Internet de las Cosas (IoT). Está diseñado como un transporte de mensajería de publicación/suscripción extremadamente ligero, ideal para conectar dispositivos remotos con un consumo de código reducido y un ancho de banda de red mínimo.

MQTT es un protocolo ligero basado en TCP/IP [12] que sigue un modelo de publicación/suscripción, donde:

- Broker: Actúa como servidor central, que actuando como intermediario entre los clientes, recibe todos los mensajes y los enruta a los clientes suscritos.
- Cliente: Puede ser un dispositivo que envía mensajes (publicación en un tópico) o un dispositivo que recibe mensajes (suscripción a un tópico).

- **Tópico:** Es la dirección a la que se envían los mensajes. El broker MQTT es responsable de enrutar los mensajes a los clientes suscritos a ese tema. Los temas son organizados en tópicos.

La figura 2.1 muestra la arquitectura del protocolo MQTT.

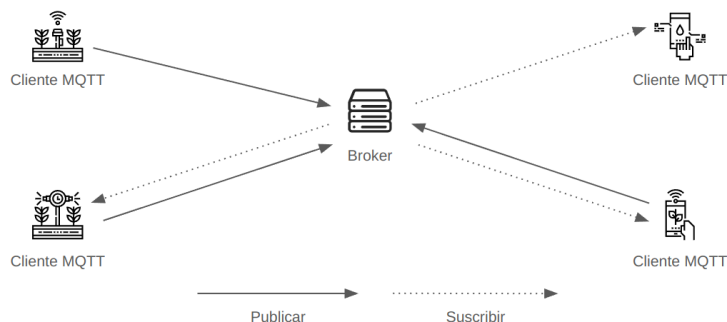


FIGURA 2.1. Arquitectura del protocolo MQTT.

### 2.1.3. TLS

TLS es un protocolo de seguridad criptográfica diseñado para garantizar la privacidad y la integridad de los datos en comunicaciones sobre redes, como Internet [13]. Opera sobre la capa de transporte y permite autenticación, cifrado de datos y protección contra manipulación.

TLS se utiliza para garantizar la confidencialidad de los protocolos de aplicación (MQTT, HTTP y WebSocket) [14].

### 2.1.4. HTTP

HTTP es un protocolo a nivel de aplicación que opera sobre TCP/IP y está diseñado para sistemas de información distribuidos, colaborativos e hipermedia. Está basado en el modelo cliente-servidor, diseñado para la transferencia de recursos web [15].

Este protocolo es de naturaleza asíncrona: cuando un cliente envía una petición, no necesita mantener una conexión activa mientras espera la respuesta, lo que optimiza significativamente el uso de recursos en la red. Este diseño sin estado hace que cada interacción sea independiente.

### 2.1.5. WebSocket

WebSocket es un protocolo de comunicación bidireccional y full-duplex que establece una conexión persistente entre un cliente y un servidor sobre una única conexión TCP [16]. A diferencia del modelo de HTTP, WebSocket permite el intercambio de datos en tiempo real sin necesidad de reabrir la conexión en cada mensaje. Esto lo hace ideal para aplicaciones que requieren baja latencia y actualizaciones instantáneas, como chats, juegos en línea y monitoreo en tiempo real.

## 2.2. Componentes de hardware

En esta sección se describen los diferentes elementos de hardware utilizados en el desarrollo del trabajo.

### 2.2.1. Microcontrolador

Para el desarrollo de los nodos se utilizó el microcontrolador ESP-WROOM-32, un chip de bajo costo y bajo consumo de energía que integra Wi-Fi, Bluetooth y Bluetooth LE en un solo paquete. El ESP-WROOM-32 es un microcontrolador de 32 bits con una arquitectura Xtensa LX6 de doble núcleo, que permite ejecutar dos hilos de ejecución simultáneos. Además, cuenta con una amplia gama de periféricos, como UART, SPI, I2C, ADC, DAC, PWM, entre otros, que lo hacen ideal para aplicaciones de IoT [17].

En la siguiente figura 2.2 puede observarse el módulo.

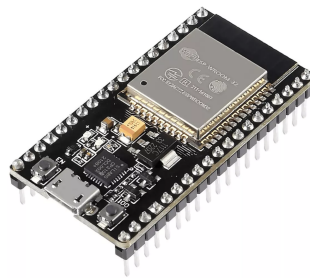


FIGURA 2.2. Microcontrolador ESP-WROOM-32.

### 2.2.2. Sensor de temperatura ambiente, humedad relativa y presión atmosférica

El sensor BME280 (figura 2.3) es un sensor de temperatura, humedad y presión atmosférica digital de alta precisión. Se comunica a través de la interfaz I2C y SPI, y es capaz de medir la temperatura ambiente con una precisión de  $\pm 1^{\circ}\text{C}$ , la humedad relativa con una precisión de  $\pm 3\%$ , y la presión atmosférica con una precisión de  $\pm 1\text{ hPa}$  [18].

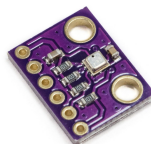


FIGURA 2.3. Sensor BME280.

### 2.2.3. Sensor de luz digital

El sensor BH1750 (figura 2.4) es un sensor de intensidad luminosa digital que mide la iluminación ambiental en lux. Se comunica a través de la interfaz I2C y es capaz de medir la intensidad luminosa en un rango de 1 a 65535 lux con una precisión de 1 lux [19].

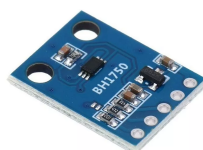


FIGURA 2.4. Sensor BH1750.

#### 2.2.4. Sensor infrarrojo de $CO_2$

El sensor MH-Z19C (figura 2.5) es un detector de dióxido de carbono ( $CO_2$ ) por NDIR (*Non Dispersive Infrared Detector*). Se comunica a través de la interfaz UART y es capaz de medir la concentración de  $CO_2$  en un rango de 0 a 5000 ppm con una precisión de 50 ppm [20].



FIGURA 2.5. Sensor MHZ19C.

#### 2.2.5. Sensor de detección de pH

El sensor PH-4502C (figura 2.6) mide la acidez o alcalinidad del líquido mediante un electrodo de vidrio. Se comunica a través de la interfaz analógica y es capaz de medir el pH en un rango de 0 a 14 [21].



FIGURA 2.6. Sensor PH-4502C.

#### 2.2.6. Sensor de conductividad eléctrica

El sensor de CE (figura 2.7) mide la conductividad eléctrica del líquido para estimar la cantidad de nutrientes disueltos en el agua. Se comunica a través de la interfaz analógica y es capaz de medir la conductividad en un rango de 0 a 20 mS/cm [22].



FIGURA 2.7. Sensor CE.

#### 2.2.7. Sensor de sólidos disueltos totales

El sensor de TDS (figura 2.8) mide la cantidad de sólidos disueltos totales en el agua, relacionado con la concentración de nutrientes. Se comunica a través de la interfaz analógica y es capaz de medir la concentración de TDS en un rango de 0 a 1000 ppm [23].





FIGURA 2.8. Sensor TDS.

### 2.2.8. Sensor de temperatura digital sumergible

El sensor DS18B20 (figura 2.9) es un sensor digital de temperatura sumergible en líquidos. Se comunica a través de la interfaz 1-Wire y es capaz de medir la temperatura en un rango de  $-55^{\circ}\text{C}$  a  $125^{\circ}\text{C}$  con una precisión de  $\pm 0.5^{\circ}\text{C}$  [24].



FIGURA 2.9. Sensor de temperatura DS18B20.

### 2.2.9. Sensor ultrasónico

El sensor HC-SR04 (figura 2.10) mide distancias por ultrasonido en un rango de 2 cm a 400 cm con una precisión de 3 mm. Se comunica a través de la interfaz GPIO [25].



FIGURA 2.10. Sensor HC-SR04.

### 2.2.10. Sensor de medición de consumo eléctrico

El sensor PZEM-004T (figura 2.11) es un módulo de medición de parámetros eléctricos que mide la tensión, corriente, potencia activa y energía consumida. Se comunica a través de la interfaz UART y es capaz de medir la tensión en un rango de 80 a 260 V, la corriente en un rango de 0 a 100 A, y la potencia en un rango de 0 a 22 kW [26].



FIGURA 2.11. Sensor de medición de consumo eléctrico.

### 2.2.11. Módulo Relay

El módulo Relay (figura 2.12) es un actuador eléctrico de dos canales optocoplados que permite el control de encendido y apagado de dispositivos eléctricos. Se

comunica a través de la interfaz GPIO y es capaz de controlar dispositivos de hasta 10 A y 250 VAC [27].



FIGURA 2.12. Relay de 2 Canales 5v 10a

## 2.3. Desarrollo de firmware

En esta sección se describe la herramienta de software utilizada para la programación de los microcontroladores ESP32.

### 2.3.1. MicroPython

MicroPython es una implementación optimizada de Python 3 para microcontroladores y sistemas embebidos. Está diseñado para ejecutarse en dispositivos con recursos limitados, como el ESP32, y proporciona una forma sencilla de programar microcontroladores utilizando un lenguaje de alto nivel como Python [28].

Su facilidad de uso, la amplia disponibilidad de bibliotecas y la reducción del tiempo de desarrollo lo convierten en una opción eficiente. Además, al ser un lenguaje interpretado, posibilita la ejecución interactiva de pruebas y depuración, facilitando la identificación y corrección de errores en el código.

## 2.4. Desarrollo Backend y API

En esta sección se presentan las herramientas de software utilizadas en el desarrollo del backend y la API REST.

### 2.4.1. FastAPI

FastAPI es un framework moderno para la construcción de APIs REST rápidas y escalables en Python. Está diseñado para ser fácil de usar, rápido de desarrollar y altamente eficiente en términos de rendimiento. FastAPI utiliza Python 3.6+ y aprovecha las características de tipado estático de Python para proporcionar una API autodocumentada y con validación de tipos integrada [29].

### 2.4.2. MongoDB

MongoDB es una base de datos NoSQL (*Not Only SQL*) de código abierto y orientada a documentos que proporciona una forma flexible y escalable de almacenar y recuperar datos. Utiliza un modelo de datos basado en documentos BSON (*Binary JavaScript Object Notation*) que permite almacenar datos de forma anidada y sin esquema fijo, lo que facilita la manipulación y consulta de datos no estructurados [30].

## 2.5. Desarrollo Frontend

### 2.5.1. React

React es una biblioteca de JavaScript de código abierto para construir interfaces de usuario interactivas y reutilizables. Desarrollada por Facebook, React permite crear componentes de interfaz de usuario que se actualizan de forma eficiente cuando cambian los datos, lo que facilita la creación de aplicaciones web rápidas y dinámicas [31].

## 2.6. Infraestructura y despliegue

### 2.6.1. Docker

Docker es una plataforma de código abierto que permite a los desarrolladores y a los equipos de operaciones construir, empaquetar y desplegar aplicaciones en contenedores. Los contenedores son unidades de software ligeros y portátiles que incluyen todo lo necesario para ejecutar una aplicación, incluidas las bibliotecas, las dependencias y el código [32].

Docker facilita la creación de entornos de desarrollo y despliegue consistentes y reproducibles, lo que garantiza que las aplicaciones se ejecuten de la misma manera en cualquier entorno.

### 2.6.2. AWS IoT Core

AWS IoT Core es un servicio de AWS (*Amazon Web Services*) que permite a los dispositivos conectarse de forma segura a la nube y comunicarse entre sí a través de protocolos de comunicación estándar como MQTT y HTTP. Proporciona una infraestructura escalable y segura para la gestión de dispositivos, la recopilación de datos y la integración con otros servicios de AWS [33]. Utiliza TLS para cifrar la comunicación entre los dispositivos y la nube, garantizando la confidencialidad y la integridad de los datos.

### 2.6.3. AWS EC2

Amazon EC2 (*Elastic Compute Cloud*) es un servicio de AWS que proporciona capacidad informática escalable en la nube. Permite a los usuarios lanzar instancias virtuales en la nube con diferentes configuraciones de CPU, memoria, almacenamiento y red, lo que facilita la implementación de aplicaciones escalables y de alta disponibilidad [34].

## 2.7. Herramientas de desarrollo

### 2.7.1. Visual Studio Code

Visual Studio Code, comúnmente abreviado como VS Code, es un entorno de desarrollo integrado (IDE, *integrated development environment*) de código abierto, altamente extensible y multiplataforma compatible con Windows, macOS y Linux [35].

VS Code es un editor de código ligero y rápido con soporte para cientos de lenguajes de programación y extensiones que permiten personalizar y mejorar la

funcionalidad del editor. Además, cuenta con herramientas de depuración integradas, control de versiones y terminal integrada.

### 2.7.2. Postman

Postman es una plataforma de colaboración para el desarrollo de APIs que permite a los desarrolladores diseñar, probar y documentar APIs de forma rápida. Postman proporciona una interfaz gráfica intuitiva para enviar solicitudes HTTP a un servidor y visualizar las respuestas, lo que facilita la depuración y el desarrollo de APIs [36].

### 2.7.3. Git

Git es un sistema de control de versiones distribuido de código abierto diseñado para gestionar proyectos de software de cualquier tamaño con rapidez y eficiencia. Permite a los desarrolladores trabajar en paralelo en un mismo proyecto, realizar seguimiento de los cambios, revertir a versiones anteriores y colaborar en el desarrollo de software [37].

### 2.7.4. Github

Github es una plataforma de alojamiento de repositorios Git que permite a los desarrolladores colaborar en proyectos de software de forma distribuida. Proporciona herramientas para gestionar el código fuente, realizar seguimiento de los cambios, revisar el código, realizar integración continua y despliegue automático [38].

# Bibliografía

- [1] Global Agricultural Productivity (GAP). 2016 *Global Agricultural Productivity Report*. Inf. téc. Documento en línea. Global Agricultural Productivity, 2016. URL: [https://globalagriculturalproductivity.org/wp-content/uploads/2019/01/2016\\_GAP\\_Report.pdf](https://globalagriculturalproductivity.org/wp-content/uploads/2019/01/2016_GAP_Report.pdf) (visitado 20-03-2025).
- [2] Raquel Salazar-Moreno, Abraham Rojano-Aguilar e Irineo Lorenzo López-Cruz. «La eficiencia en el uso del agua en la agricultura controlada». En: *Tecnología y ciencias del agua* 5.2 (2014). Documento en línea, págs. 177-183. URL: [http://www.scielo.org.mx/scielo.php?script=sci\\_arttext&pid=S2007-24222014000200012&lng=es&tlng=es](http://www.scielo.org.mx/scielo.php?script=sci_arttext&pid=S2007-24222014000200012&lng=es&tlng=es) (visitado 20-03-2025).
- [3] Misiones Online. *Horticultura en Misiones*. URL: <https://misionesonline.net/2024/06/14/horticultura-en-misiones-2/> (visitado 20-03-2025).
- [4] Primera Edición. *Misiones: la hidroponía, cada vez más presente*. Primera Edición. URL: <https://www.primeraedicion.com.ar/nota/100627758/misiones-la-hidroponia-cada-vez-mas-presente/> (visitado 20-03-2025).
- [5] Lucas A. Garibaldi et al. «Seguridad alimentaria, medio ambiente y nuestros hábitos de Consumo». En: *Ecología Austral* 28.3 (2018), págs. 572-580. URL: [https://www.scielo.org.ar/scielo.php?script=sci\\_arttext&pid=S1667-782X2018000400011&lng=es&tlng=es](https://www.scielo.org.ar/scielo.php?script=sci_arttext&pid=S1667-782X2018000400011&lng=es&tlng=es) (visitado 20-03-2025).
- [6] Hidroponía FIL. URL: <https://hidroponiafil.com.ar/> (visitado 20-03-2025).
- [7] Hidrosense. URL: <https://www.hidrosense.com.br/> (visitado 20-03-2025).
- [8] iPonia. URL: <https://iponia.com.br/> (visitado 20-03-2025).
- [9] Growcast. URL: <https://www.growcast.io/> (visitado 20-03-2025).
- [10] Shanna Li. «Comparative analysis of infrastructure and Ad-Hoc wireless networks». En: *ITM Web of Conferences*. Proceedings of the International Conference on Intelligent Computing, Communication & Information Technologies (ICICCI 2018) 25 (2019). Article number 01009, pág. 01009. ISSN: 2271-2097. DOI: <https://doi.org/10.1051/itmconf/20192501009>. URL: [https://www.itm-conferences.org/articles/itmconf/pdf/2019/02/itmconf\\_icicci2018\\_01009.pdf](https://www.itm-conferences.org/articles/itmconf/pdf/2019/02/itmconf_icicci2018_01009.pdf).
- [11] OASIS Open. *Foundational IoT Messaging Protocol MQTT Becomes International OASIS Standard*. OASIS Open. URL: <https://www.oasis-open.org/2014/11/13/foundational-iot-messaging-protocol-mqtt-becomes-international-oasis-standard/> (visitado 25-03-2025).
- [12] Amazon Web Services. ¿Qué es MQTT? AWS. URL: <https://aws.amazon.com/es/what-is/mqtt/> (visitado 25-03-2025).
- [13] E. Rescorla. *The Transport Layer Security (TLS) Protocol Version 1.3*. Internet Requests for Comments. RFC. DOI: [10.17487/RFC8446](https://doi.org/10.17487/RFC8446). URL: <https://datatracker.ietf.org/doc/html/rfc8446>.
- [14] Amazon Web Services. *Transport Security in AWS IoT Core*. URL: <https://docs.aws.amazon.com/iot/latest/developerguide/transport-security.html> (visitado 25-03-2025).
- [15] Jeffrey Mogul et al. *Hypertext Transfer Protocol – HTTP/1.1*. RFC 2616. DOI: [10.17487/rfc2616](https://doi.org/10.17487/rfc2616). URL: <https://rfc-editor.org/rfc/rfc2616.txt>.

- [16] I. Fette y A. Melnikov. *The WebSocket Protocol*. Inf. téc. IETF. DOI: [10.17487/RFC6455](https://doi.org/10.17487/RFC6455). URL: <https://tools.ietf.org/html/rfc6455>.
- [17] Espressif Systems (Shanghai) Co., Ltd. *ESP32-WROOM-32 Datasheet*. URL: [https://www.espressif.com/sites/default/files/documentation/esp32-wroom-32\\_datasheet\\_en.pdf](https://www.espressif.com/sites/default/files/documentation/esp32-wroom-32_datasheet_en.pdf) (visitado 26-03-2025).
- [18] Bosch Sensortec. *BME280 - Combined humidity, pressure and temperature sensor*. URL: <https://www.bosch-sensortec.com/products/environmental-sensors/humidity-sensors-bme280/> (visitado 26-03-2025).
- [19] ROHM Semiconductor. *BH1750 - Ambient Light Sensor (ALS) - Datasheet*. URL: [https://www.mouser.com/catalog/specsheets/Rohm\\_11162017\\_ROHMS34826-1.pdf](https://www.mouser.com/catalog/specsheets/Rohm_11162017_ROHMS34826-1.pdf) (visitado 26-03-2025).
- [20] Zhengzhou Winsen Electronics Technology Co., Ltd. *MH-Z19C NDIR CO<sub>2</sub> Sensor - Terminal Type Manual*. URL: [https://www.mouser.com/datasheet/2/1398/Soldered\\_108994\\_co2\\_sensor\\_mh\\_z19-3532446.pdf](https://www.mouser.com/datasheet/2/1398/Soldered_108994_co2_sensor_mh_z19-3532446.pdf) (visitado 26-03-2025).
- [21] DFRobot. *Datos técnicos del sensor de pH líquido PH-4502C*. URL: <https://image.dfrobot.com/image/data/SEN0161/PH%20composite%20electrode%20manual.pdf> (visitado 26-03-2025).
- [22] EC Buying. *Datos técnicos del sensor de CE*. URL: [https://es.aliexpress.com/item/1005003479288815.html?spm=a2g0o.order\\_list.order\\_list\\_main.40.42e8194dYjUbr1&gatewayAdapt=glo2esp](https://es.aliexpress.com/item/1005003479288815.html?spm=a2g0o.order_list.order_list_main.40.42e8194dYjUbr1&gatewayAdapt=glo2esp) (visitado 26-03-2025).
- [23] DFRobot. *Datos técnicos Sensor TDS*. URL: <https://www.dfrobot.com/product-1662.html?srltid> (visitado 26-03-2025).
- [24] Dallas Semiconductor. *Datos técnicos Sensor DS18B20*. URL: <https://cdn.sparkfun.com/datasheets/Sensors/Temp/DS18B20.pdf> (visitado 26-03-2025).
- [25] Sparkfun Electronics. *Datos técnicos del sensor ultrasónico*. URL: <https://cdn.sparkfun.com/datasheets/Sensors/Proximity/HCSR04.pdf> (visitado 26-03-2025).
- [26] Unit Electronics. *Datos técnicos del sensor de energía eléctrica PZEM-004T*. URL: <https://uelectronics.com/wp-content/uploads/2024/06/AR4189-AR4190-Medidor-de-Energia-Elctrica-AC-100A-Manual.pdf> (visitado 26-03-2025).
- [27] Songle Relay. *Datos técnicos del Relay Songle*. URL: [https://datasheet4u.com/pdf-down/S/R/D/SRD-12VDC-xx-x\\_ETC.pdf](https://datasheet4u.com/pdf-down/S/R/D/SRD-12VDC-xx-x_ETC.pdf) (visitado 26-03-2025).
- [28] Damien P. George y contributors. *MicroPython*. URL: <https://micropython.org/> (visitado 26-03-2025).
- [29] Tiangolo. *FastAPI*. URL: <https://fastapi.tiangolo.com/> (visitado 26-03-2025).
- [30] MongoDB, Inc. *MongoDB Documentation*. URL: <https://www.mongodb.com/> (visitado 26-03-2025).
- [31] Meta (formerly Facebook) and contributors. *React: Biblioteca de JavaScript para interfaces de usuario*. URL: <https://es.react.dev/> (visitado 26-03-2025).
- [32] Docker, Inc. *Docker: Desarrollo acelerado de aplicaciones en contenedores*. URL: <https://www.docker.com/> (visitado 26-03-2025).
- [33] Amazon.com, Inc. *AWS IoT Core*. URL: <https://aws.amazon.com/es/iot-core/> (visitado 26-03-2025).
- [34] Amazon.com, Inc. *EC2, Nube de cómputo elástica de Amazon*.
- [35] Microsoft Corporation. *Visual Studio Code*. URL: <https://code.visualstudio.com/> (visitado 26-03-2025).
- [36] Postman, Inc. *Postman API Platform*. URL: <https://www.postman.com/> (visitado 26-03-2025).

- 
- [37] Git. *Sistema de control de versiones Git*. URL: <https://git-scm.com/> (visitado 26-03-2025).
- [38] GitHub, Inc. *GitHub*. URL: <https://github.com/> (visitado 26-03-2025).